

Abschlussbericht Projektseminar Echtzeitsysteme

Gruppe Crash Test Dummies

Projektseminararbeit eingereicht von

Kai Cui, Feiyu Chang, Regis Fayard, Lars Semmler, David Botschek
am 21. März 2019



TECHNISCHE
UNIVERSITÄT
DARMSTADT



Fachgebiet Echtzeitsysteme

Elektrotechnik und
Informationstechnik (FB18)

Zweitmitglied Informatik (FB20)

Prof. Dr. rer. nat. A. Schürr
Merckstraße 25
64283 Darmstadt

www.es.tu-darmstadt.de

Gutachter: Stefan Tomaszek

Betreuer: Stefan Tomaszek

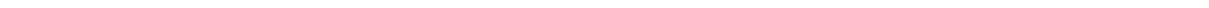
Erklärung zur Projektseminararbeit

Hiermit versichere ich, die vorliegende Projektseminararbeit selbstständig und ohne Hilfe Dritter angefertigt zu haben. Gedanken und Zitate, die ich aus fremden Quellen direkt oder indirekt übernommen habe, sind als solche kenntlich gemacht. Diese Arbeit hat in gleicher oder ähnlicher Form noch keiner Prüfungsbehörde vorgelegen und wurde bisher nicht veröffentlicht.

Ich erkläre mich damit einverstanden, dass die Arbeit auch durch das Fachgebiet Echtzeitsysteme der Öffentlichkeit zugänglich gemacht werden kann.

Darmstadt, den 21. März 2019

(Kai Cui, Feiyu Chang, Regis Fayard, Lars Semmler, David Botschek)



Inhaltsverzeichnis

1	Einführung	1
2	Projektorganisation	2
3	Testprotokoll	3
4	Regelansätze	4
4.1	PID-Regelungsansatz	4
4.2	Modellprädiktiver Regelungansatz	6
5	Schilderkennung	12
5.1	Erster Ansatz: Find-Object	12
5.2	Finaler Ansatz: Schilderkennung mit SURF	12
5.3	Ausblick: Verbesserungsmöglichkeiten	14
6	Konklusion	16

1 Einführung

In der Automobilindustrie wird zunehmend auf autonomes Fahren gesetzt. Hier werden in der Entwicklung ständig neue Meilensteine erreicht, um ein Fahren ohne eine Person am Steuer zu ermöglichen.

Eine kleine Einführung will hier das Projektseminar Echtzeitsysteme der TU Darmstadt bieten. Anhand eines Modellautos werden Ansätze realitätsnaher Algorithmen diskutiert und auf einem Modellfahrzeug kleiner Größe ausprobiert. Die Kommunikation mit dem Auto erfolgt mit Hilfe der Middleware Robot Operating System (ROS). Mit dieser Methode testet auch der Kooperationspartner „Fachgebiet Fahrzeugtechnik (FZD)“ Lösungen am echten Auto, was die Relevanz dieses Projektseminars unterstreicht.

Ein weiterer, nicht weniger wichtiger Schwerpunkt des Seminars ist die erfolgreiche Planung und Durchführung der Gruppenarbeit. Die 5 Mitglieder der einzelnen Gruppen werden aus verschiedenen Vertiefungsrichtungen zugeteilt, sodass jeder Teilnehmer eigenes Fachwissen mitbringen konnte. Die verschiedenen Rollen und Verantwortlichkeiten wurden im Team sinnvoll aufgeteilt und in wöchentlichen Treffs effizient und geplant ausgeführt.

Fahrzeug

Dem Fahrzeug stehen verschiedene Sensoren wie ein Ultraschall-, Gyro-, und Hallsensor sowie eine Kinect-Kamera zur Verfügung, um das Umfeld möglichst realitätsnah wahrzunehmen. Durch die Kamera kann man sowohl auf ein Farbbild als auch auf ein Tiefenbild zugreifen, sodass eine präzise Bildverarbeitung ermöglicht wird.

Aufgaben

Die verschiedenen Meilensteine wurden nach einzelnen Aufgaben gestaffelt. Das Abfahren eines Rundkurses anhand der Analyse zweier Linien stellte die Basis- und Pflichtaufgabe dar. Weitere Aufgaben durften selbst vorgeschlagen werden, als mögliche Beispiele wurden Spurwechsel, Hinderniserkennung und Verkehrsschilderkennung vorgeschlagen. Wir entschieden uns für Spurwechsel und Erkennung der Schilder. Zum Projektumfang zählten auch das Festlegen von Testszenarien um die Funktionalität und Zuverlässigkeit des autonomen Betriebs sicherzustellen.

2 Projektorganisation

Für einen reibungslosen Ablauf haben wir zu Beginn geplant, wie wir unsere Kommunikation gestalten, und konnten mit Hilfe der unten aufgeführten Tools eine erfolgsversprechende Roadmap erzielen.

Die Seminarorganisation hält ein regelmäßiges Treffen mit dem Seminarleiter, um Hilfestellungen und Tipps zu ermöglichen. Vom Fachgebiet Fahrzeugtechnik wurde alle zwei Wochen eine Fragerunde zu regelungstechnischen Problemen angeboten. Dieses Treffen diente auch als Austausch mit den anderen Gruppen.

In unserer Kleingruppe entschieden wir uns dazu, uns einmal wöchentlich zusammen am Auto zu treffen um gegenseitiges Helfen zu ermöglichen und den nächsten kurzen Abschnitt zu planen. Den Rest der Woche wurde selbstständig an den neu zugeteilten Aufgaben weitergearbeitet. Bei akuten Fragen und Problemen fand ebenso eine ständige Kommunikation über WhatsApp statt.

Trello: Damit wir die Aufgaben präzise und strukturiert festhalten konnten haben wir uns für das Organisations-Tool Trello entschieden. Hiermit konnten wir durch Anlegen von Listen unsere Punkte in „ToDo“, „Meeting“, „Gemacht“ und „Aufgaben für die Zukunft“ aufteilen.

Github: Für die Synchronisierung des Programmcodes haben wir das Versionsverwaltungsprogramm git genutzt. Dadurch konnten wir komfortabel den Programmiercode des Fahrzeugs austauschen sowie bei Fehlern auf alte Code-Zustände zurückgreifen.

Ebenso konnten wir beim Programmieren auf eine Reihe vorhandener Bibliotheken und Funktionen zurückgreifen.

OpenCV: Mit OpenCV [Rab] konnten wir die Bilder verarbeiten und die benötigten Informationen herausfiltern. Auch der Algorithmus zur Bilderkennung basiert auf einem Beispiel einer OpenCV-Demo [Lab]

quadprog++: Die Bibliothek quadprog++ [Gas] stellt eine Optimierungsmethode bereit, welche die Optimierung des Optimierungsproblems der modellprädiktiven Regelung erleichtert.

Auch haben wir mit dem Programm doxygen [Hee] und dem darauf basierenden rosdoc_lite eine übersichtliche Dokumentation unseres Codes mit Kommentaren erstellen können.

3 Testprotokoll

Im Folgenden ist das Testprotokoll für die durchgeführten Integrationstests abgebildet. Dieses wurde an den angegebenen Stichtagen durchgeführt, um den Fortschritt mit Meilensteinen festzustellen.

Testfall	31.1.	14.2.	28.2.
Das Fahrzeug fährt rechts und links herum autonom ohne die Fahrbahnbegrenzung zu berühren.	✗	✓	✓
Das Fahrzeug fährt auf einer Fahrspur autonom ohne die Spur zu verlassen.	✓	✓	✓
Das Fahrzeug fährt eine Runde unter 30s.	✓ 25s	✓ 19s	✓ 19s
Das Fahrzeug kommt von der Fahrbahn ab und muss daraufhin anhalten.	✗	✗	✓
Das Fahrzeug startet mittig auf der Fahrbahn im 45 Winkel zur Fahrbahnbegrenzung	✓	✓	✓
Das Fahrzeug startet mittig auf der Fahrbahn im 60 Winkel zur Fahrbahnbegrenzung	✗	✓	✓
Bei einem Stoppschild hält das Fahrzeug für 3s an und fährt danach weiter.	✗	✓	✓
Bei einem Geschwindigkeitsschild fährt das Fahrzeug ab dem Schild mit verringerter Geschwindigkeit weiter.	✗	✓	✓
Bei einer Fahrbahnverengung wechselt das Fahrzeug die Fahrspur.	✗	✓	✓
Schilderkennung und autonomes Fahren muss gleichzeitig ohne wahrnehmbare Beeinträchtigung funktionieren.	✗	✗	✓

4 Regelansätze

4.1 PID-Regelungsansatz

Unser erster Ansatz, das Fahrzeug autonom fahren zu lassen, basiert auf einem PID-Regler. Dieses Verfahren lässt sich in 2 große Schritte aufteilen.

Bildverarbeitung: Für die Bildverarbeitung wird das Umfeld durch die Farbkamera der Kinect aufgenommen und in den HSV-Farbraum konvertiert. Zum Erkennen der Fahrbahnbegrenzung wird das Bild entsprechend nach grünen Punkten durchsucht und gefiltert. Um das entstandene Rauschen zu reduzieren, wird zusätzlich noch ein Medianfilter verwendet. Das entstandene Bild wird in einem 2D-Array gespeichert, wobei die linke untere Ecke als Ursprung verwendet wird.

Für einen Spurwechsel ist das Bild der Kinect besonders in Kurven zu schmal, da die Kamera nicht mittig, sondern weiter rechts am Chassis angebracht ist. Daher wird hier die mittlere Fahrbahnmarkierung genutzt. Hier wird das Bild nach rosafarbenen Punkten gefiltert. Da die mittlere Linie jedoch nicht durchgängig verläuft, wird durch das folgende Verfahren digital eine durchgängige Markierung erzeugt. Zuerst wird der unterste rosane Punkt erfasst und in p_0 abgespeichert.

$$\mathbf{p}_0 = (x_0, y_0) \quad (1)$$

Jeder weitere weiße Punkt wird dann in p_i gesichert.

$$\mathbf{p}_i = (x_i, y_i) \quad (2)$$

Durch die erkannten Punkte kann die Steigung k_i errechnet werden.

$$k_i = \frac{y_i - y_0}{x_i - x_0} \quad (3)$$

Zuletzt wird daraus dann der Durchschnittswert aller Steigungen S berechnet.

$$S = \frac{1}{m} \sum k_i \quad (4)$$

Mit dieser Steigung werden die Lücken zwischen den erkannten Linienabschnitten ergänzt. Daraus resultiert dann eine durchgängige Linie der Fahrbahnbegrenzung.

Regelkreis: Für die Steuerung des Fahrzeugs wird die Differenz zwischen der aktuellen Stellung des Fahrzeugs und der geplanten Richtung verwendet. Relativ zu dieser Abweichung wird das Steering-Level entsprechend gesetzt.

Um die Analyse der Geschwindigkeit zu vereinfachen, wird hierzu lediglich eine Dimension betrachtet, da die anderen Geschwindigkeitsvektoren dazu relativ klein und vernachlässigbar sind. Die Orientierung der Geschwindigkeit wird als $B(t)$ ausgegeben.

$$\mathbf{B}(t) = (x_b(t), y_b(t)) \quad (5)$$

Als Sollwert $A(t)$ wird die aufgenommene und bearbeitete Strecke verwendet. Die Abweichung zwischen Soll- und Ist-Wert wird aufintegriert und als Eingabewert $e(t)$ für die PID-Regelung verwendet, wodurch das passende Steering-Level $u(t)$ gesetzt werden kann.

$$\mathbf{A}(t) = (x_a(t), y_a(t)) \quad (6)$$

$$e(t) = \sum_{y=0}^n |x_A - x_B| \quad (7)$$

$$u(t) = K_p e(t) + K_D \dot{e}(t) \quad (8)$$

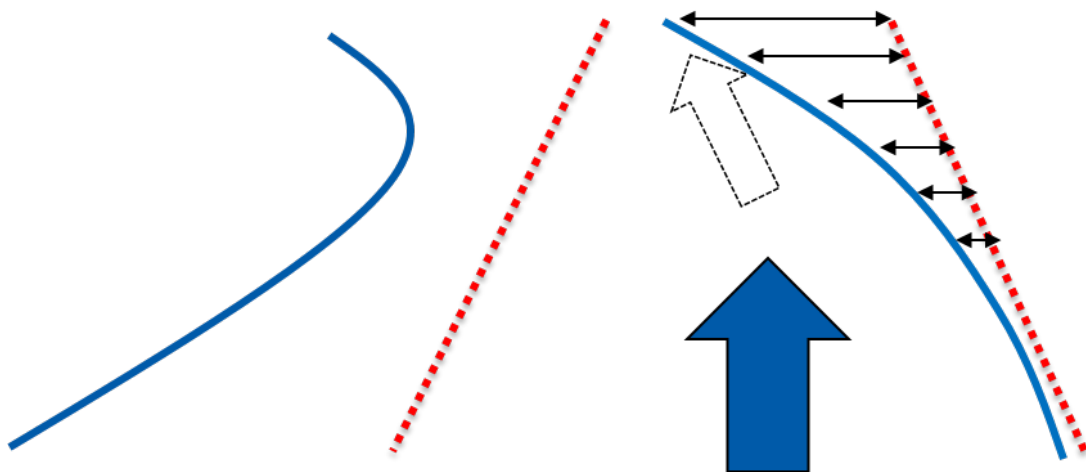


Abbildung 4.1: PID-Regeldifferenz. Rot: Solllinie. Blaue: Lanepixel. Schwarz: Abweichungen

4.2 Modellprädiktiver Regelungsansatz

Ein zweiter experimenteller Ansatz, der im Rahmen des Projektseminars verfolgt wurde, ist die sogenannte lineare modellprädiktive Regelung. Bei dieser wird anhand eines linearen, diskretisierten Fahrzeugmodells über ein quadratisches Optimierungsproblem eine Lösung für die optimalen Lenkwinkel berechnet. Diese sind optimal in dem Sinne, dass eine Linearkombination der mittleren quadratischen Abweichungen des prädiktierten Systemzustands und Stellgröße zu einer vorgegebenen Solltrajektorie über einen endlichen Zeithorizont hinaus minimiert wird.

Ein großer Vorteil dieses Verfahrens ist, dass es automatisch Stellgrößenbeschränkungen beachtet und es somit nicht zu Prädiktionsfehlern durch unbeschränkte Stellgrößen kommt. Durch die Methode erhält man zugleich den gesamten Stellgrößenverlauf für den eingestellten Zeithorizont, sodass es außerdem möglich ist, über längere Zeit ohne Neuberechnung an einer Solltrajektorie entlang zu fahren, vorausgesetzt das linearisierte Modell ist für die gegebene Zustandstrajektorie ausreichend genau.

Zunächst bringen wir das Problem in die Form, die für die lineare modellprädiktive Regelung benötigt wird. Dabei orientieren wir uns an [Hov04] sowie an Vorarbeiten von Herrn Eric Lenz am FG RTM. Wir gehen aus vom Querführungsmodell in Gleichung 9 von Herrn Eric Lenz am FG RTM, welches bereits das Ackermannmodell auf eine Raumdimension reduziert:

$$\begin{pmatrix} \dot{y} \\ \dot{\varphi}_K \end{pmatrix} = \begin{pmatrix} 0 & \nu \\ 0 & 0 \end{pmatrix} \begin{pmatrix} y \\ \varphi_K \end{pmatrix} + \begin{pmatrix} \nu \cdot \frac{l_H}{l} \\ \frac{\nu}{l} \end{pmatrix} \varphi_L^* = \mathbf{Ax} + \mathbf{Bu} \quad (9)$$

Das Modell wird per Hand mit der Abtastperiode T diskretisiert zu

$$\mathbf{A}_d = e^{\mathbf{A}T} = \begin{pmatrix} 1 & \nu T \\ 0 & 1 \end{pmatrix} \quad (10)$$

$$\mathbf{B}_d = \int_0^T e^{\mathbf{A}\tau} \mathbf{B} d\tau = \begin{pmatrix} \frac{\nu T l_H}{l} + \frac{\nu^2 T^2}{2l} \\ \frac{\nu T}{l} \end{pmatrix} \quad (11)$$

$$\begin{pmatrix} y(k+1) \\ \varphi_K(k+1) \end{pmatrix} = \begin{pmatrix} 1 & \nu T \\ 0 & 1 \end{pmatrix} \begin{pmatrix} y(k) \\ \varphi_K(k) \end{pmatrix} + \begin{pmatrix} \frac{\nu T l_H}{l} + \frac{\nu^2 T^2}{2l} \\ \frac{\nu T}{l} \end{pmatrix} \varphi_L^*(k) \quad (12)$$

Es sei nun eine Trajektorie nach den Gleichungen 13, 14 gegeben, deren Erzeugung wir an späterer Stelle erläutern.

$$\mathbf{x}_{ref} = (x_{ref,1} \quad x_{ref,2} \quad \dots \quad x_{ref,n-1} \quad x_{ref,n})^T \quad (13)$$

$$\mathbf{u}_{ref} = (u_{ref,0} \quad u_{ref,1} \quad \dots \quad u_{ref,n-2} \quad u_{ref,n-1})^T \quad (14)$$

Dann definieren wir

$$\begin{aligned}
\hat{Q} &= 100 \cdot \text{diag}(1, 0.001, \dots, 1, 0.001); \quad \hat{P} = \mathbf{I}_{n,n}; \quad -U_{\min} = U_{\max} = 21^\circ \\
x_0 &= \begin{pmatrix} y(k) \\ 0 \end{pmatrix}; \quad A = \begin{pmatrix} 1 & vT \\ 0 & 1 \end{pmatrix}; \quad B = \begin{pmatrix} \frac{vTl_h}{l} + \frac{v^2T^2}{2l} \\ \frac{vT}{l} \end{pmatrix} \\
\chi_0 &= \begin{pmatrix} A \\ A^2 \\ \vdots \\ A^{n-1} \\ A^n \end{pmatrix} x_0 + \begin{pmatrix} B & 0 & \dots & 0 & 0 \\ AB & B & \ddots & \vdots & \vdots \\ \vdots & \vdots & \ddots & 0 & 0 \\ A^{n-2}B & A^{n-3}B & \dots & B & 0 \\ A^{n-1}B & A^{n-2}B & \dots & AB & B \end{pmatrix} u_{\text{ref}} - x_{\text{ref}} \quad (15)
\end{aligned}$$

Wir möchten nun die quadratischen Zustandsabweichungen und Stellgrößen über den endlichen Zeithorizont n unter Beachtung der Stellgrößenbeschränkung und Systemdynamik optimieren.

$$\begin{aligned}
\min_u f(x, u) &= \sum_{t=0}^{n-1} \{ (x_i - x_{\text{ref},i})^T Q (x_i - x_{\text{ref},i}) \\
&\quad + (u_i - u_{\text{ref},i})^T P (u_i - u_{\text{ref},i}) \} \\
&\quad + (x_n - x_{\text{ref},n})^T Q (x_n - x_{\text{ref},n})
\end{aligned}$$

unter den Nebenbedingungen

$$\begin{aligned}
x_0 &= \text{gegeben} \\
x_i &= Ax_{i-1} + Bu_{i-1} \quad \text{for } 1 \leq i \leq n \\
U_L &\leq u_i \leq U_U \quad \text{for } 0 \leq i \leq n-1
\end{aligned}$$

Wir können dann das folgende äquivalente quadratische Optimierungsproblem für n Zeitschritte definieren [Hov04], welches die quadratischen Positionsabweichungen über n Zeitschritte vorwärts minimiert.

$$\min_v f(v) = 0.5 v^T \tilde{H} v + c^T v \quad (16)$$

$$= (x_0 - x_{\text{ref},0})^T Q (x_0 - x_{\text{ref},0}) + \chi_0^T \hat{Q} \chi_0 + 2\chi_0^T \hat{Q} \chi_v + \chi_v^T \hat{Q} \chi_v + v^T \hat{P} v \quad (17)$$

mit den Stellgrößen-Nebenbedingungen

$$\mathbf{I}_{n,n} v \geq \begin{pmatrix} U_{\min} \\ \vdots \\ U_{\min} \end{pmatrix} - u_{\text{ref}} \quad (18)$$

$$-\mathbf{I}_{n,n} v \geq -\begin{pmatrix} U_{\max} \\ \vdots \\ U_{\max} \end{pmatrix} + u_{\text{ref}} \quad (19)$$

Da wir keine Zustandsgrößenbeschränkung vorsehen, benötigen wir die restlichen Nebenbedingungen aus [Hov04] nicht. Dieses Optimierungsproblem wird für die gegebene Trajektorie on-line auf dem Fahrzeug gelöst, und der folgende optimale Stellgrößenverlauf wird abgespielt:

$$\varphi_{L,i} = \arctan(\varphi_{L,i}^*) = \arctan(u_i) = \arctan(v_i + u_{ref,i}) \quad (20)$$

Die Konvergenz, Optimalität und numerische Stabilität der Lösung des Optimierungsproblems der linearen modellprädiktiven Regelung ist hierbei durch die Verwendung von Methoden aus der quadratischen Programmierung, z.B. hier [GI83], sichergestellt.

Wir haben hier die Gewichtungsmatrizen \hat{Q}, \hat{P} so gesetzt, dass näherungsweise lediglich die Positionsabweichung zur Solltrajektorie minimiert werden soll. Dies erlaubt es uns daher, als Solltrajektorie den Sollstellgrößenverlauf zu ignorieren und eine beliebige Sollwinkeltrajektorie vorzugeben, da Inkonsistenzen mit dem Sollzustandsverlauf dann kaum ins Gewicht fallen:

$$u_{ref} = (0 \ 0 \ \dots \ 0 \ 0)^T \quad (21)$$

Als nächstes wird die Beschaffung der Sollzustandstrajektorie erläutert. Dazu bedienen wir uns der Kinectkamera, dessen Farbdaten zunächst mithilfe einer inversen Perspektiventransformation (IPM) auf ein Birdeye-View gebracht werden. Beispielhaft ist ein bearbeitetes, transformiertes Bild in Abbildung 4.2 zu sehen.

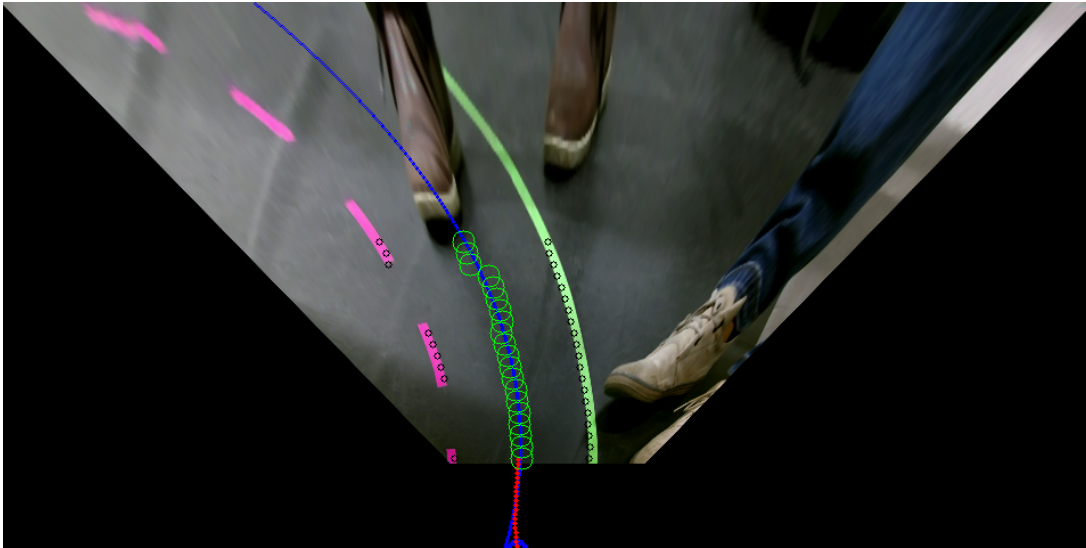


Abbildung 4.2: Transformierte und um Roboterposition erweiterte Version von Abbildung 4.3.

Das Bild wird in horizontale Streifen einer vordefinierten Breite unterteilt. Anschließend werden die Streifen nach den Fahrbahnbegrenzungsfarben gefiltert und Spaltenhistogramme gebildet. Die Histogrammmaxima am nächsten zur Mitte des Bildes werden mit einem vordefinierten Mindestabstand selektiert. In diesem Fall also bis zu

zwei Seitenstreifenpunkte und bis zu ein Mittellinienpunkt. Diese sind in Abbildung 4.3 als schwarze Kreise eingezeichnet.

Anschließend werden diese Punkte verwendet, um sinnvolle Wegpunkte zu definieren. Diese sind in der Abbildung 4.3 als grüne Kreise eingezeichnet. Wegpunkte werden priorisiert zwischen einen Mittellinienpunkt und den Seitenstreifenpunkt der entsprechenden Fahrbahnseite gelegt. Falls das nicht möglich ist, z.B. weil einer der Punkte nicht existiert, legen wir ihn $\frac{1}{4}$ oder $\frac{3}{4}$ zwischen die Seitenstreifenpunkte je nach Fahrbahnseite. Falls auch das nicht möglich ist, können zusätzliche Punkte aus den bereits existierenden inferiert werden, falls mindestens ein Seitenstreifenpunkt existiert.

Mithilfe dieser Wegpunkte kann man nun eine Trajektorie x_{ref} erzeugen. In Abbildung 4.3 ist die blaue Linie eine quadratische Trajektorie, die an die grünen Wegpunkte gefittet wird. Die Trajektorie scheint zunächst gut an die Fahrbahn angepasst zu sein. Man erkennt, dass die Solltrajektorie nicht einhaltbar ist, da die Querabweichung sich aus dem Unterschied zwischen polynomiell extrapolierte Solltrajektorie und Roboterposition zusammensetzt und nicht bei null beginnt. Dies ist kein Problem, da lediglich der quadratische Fehler über die nächsten Zeitschritte minimiert wird.

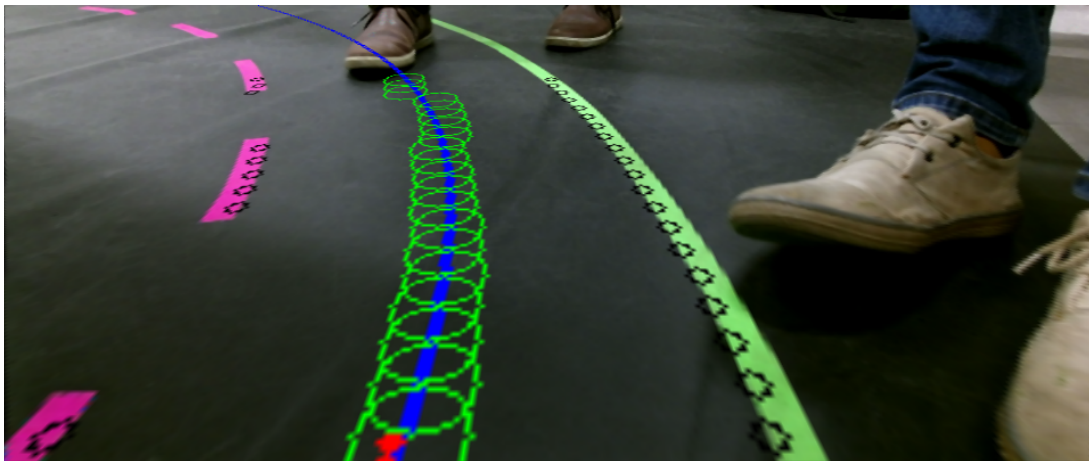


Abbildung 4.3: Bearbeitetes, rücktransformiertes Bild mit quadratischer Trajektorie. Sichtbar sind Wegpunkte (grüne Kreise), die Solltrajektorie (blaue Linie), die prädizierte Trajektorie (rote Punkte) und Lanepunkte (schwarze Kreise)

Ein Problem lässt sich in Abbildung 4.2 jedoch feststellen: Die Trajektorien sind aufgrund der polynomiellen Extrapolation nicht stationär und sehr variant. Zusätzlich kommt hinzu, dass die Regressionsmethode nicht rotationsinvariant ist, denn eine Rotation der Wegpunkte führt aufgrund der vertikalen Polynomausrichtung zu einer völlig anderen Trajektorie. Diese Umstände führen dazu, dass die Regelung versagt.

Eine einfache Lösung ist es, nicht zu interpolieren, sondern wie in Abbildung 4.4 zu sehen eine direkte lineare Trajektorie zum nächstliegenden Wegpunkt zu setzen. Dadurch wird die Trajektorie deutlich stationärer und robuster, sodass die Regelung wie erwartet

funktioniert. Dasselbe Problem hat man jedoch im begrenzten Maße auch für die direkte lineare Trajektorie. Selbst wenn man auf Extrapolation verzichtet und ausreichend Mittelung verwendet, ist der unterste Bildpunkt aufgrund der auftretenden Rotation des gegenüber der Roboterposition orthogonal ausgerichteten Bildes auch für gerade Fahrstrecken variant, sobald eine Abweichung auftritt. Zusätzlich kommt es durch die Diskretisierung bei großen Zeitschritten zu Überspringen im kontinuierlichen physikalischen System trotz Einhaltung der Zustandssollwerte im diskreten Modell.

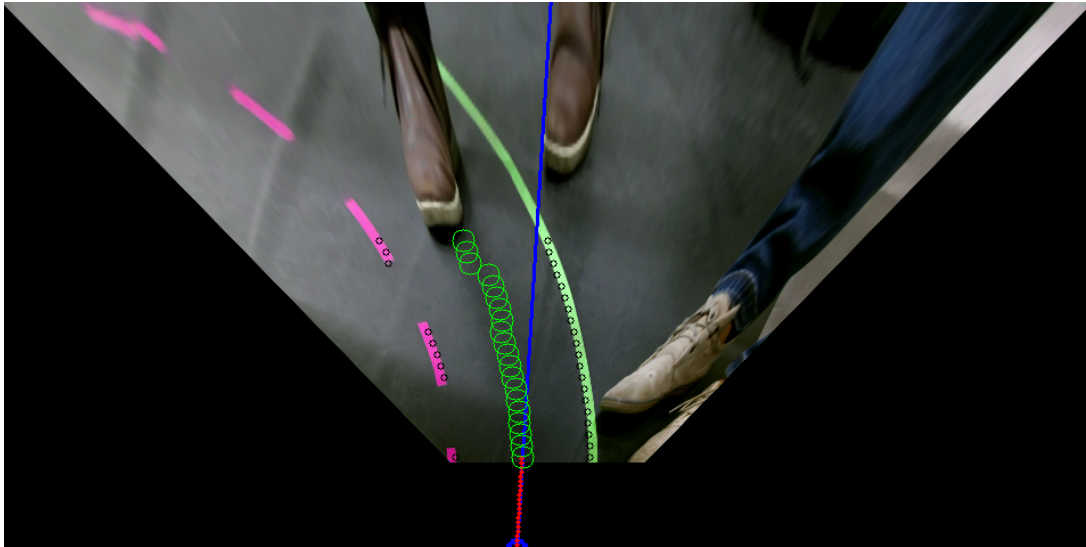


Abbildung 4.4: Bearbeitetes, untransformiertes Bild mit quadratischer Trajektorie. Sichtbar sind Wegpunkte (grüne Kreise), die Solltrajektorie (blaue Linie), die prädizierte Trajektorie (rote Punkte), Lanepunkte (schwarze Kreise) und die Roboterposition relativ zum Bild (Anfangspunkt der prädizierten Trajektorie, großer blauer Kreis)

Mit dieser Bildtrajektorie und den Bildtransformationsparametern lassen sich dann diskrete Trajektoriensollwerte $x_{ref,i}$ erzeugen, indem das kinematische Querführungsmodell angenommen wird: Für jeden Trajektorienzeitschritt wird eine konstante Vorwärtsbewegung abhängig von der Geschwindigkeit ausgeführt, um den nächsten Positionssollwert zu ermitteln.

Das größte Problem ist das nicht ausreichend genaue Modell. Der MPC-Ansatz erlaubt noch weitere Verbesserungen, um besseres Regelverhalten zu erreichen und insbesondere hohe Geschwindigkeiten ausreichend genau zu regeln. Darauf wird in diesem Projektseminar aber aufgrund der abweichenden Zielsetzung verzichtet.

Es bietet sich zukünftig an, das Fahrzeugmodell durch ein nichtlineares Modell zu ersetzen und allgemeinere Optimierer zu verwenden. Damit landet man bei der nichtlinearen modelprädiktiven Regelung (NMPC), z.B. [AZ12], bei der ein anderer Modellansatz verfolgt werden muss, da das Querabweichungsmodell eine Linearisierung ist.

Weiter kann man das Modell durch ein genaueres Modell ersetzen. Erstens bietet es sich an, ein genaueres Modell als das Ackermann-Modell zu verwenden, um auch bei hohen Fahrgeschwindigkeiten ein ausreichend genaues Dynamikmodell zu erhalten. Zweitens kann man auch Modelle für die Servolenkung berücksichtigen, da diese nicht unendlich schnell einen Lenkwinkel einstellen kann.

Schließlich könnte man auch die Trajektoriengenerierung überarbeiten. Eine naheliegende Wahl, um auch mit Bilddraten von unter 1 Hz auszukommen, ist die Verwendung der direkten Trajektorie bis zum ersten Wegpunkt und darauffolgende Verwendung der quadratischen Trajektorie. Da die quadratische Trajektorie in diesem Fall nicht mehr extrapoliert, bietet diese eine hervorragende Trajektorienform für eine Regelung mit wenigen Bildern.

5 Schilderkennung

Als Vertiefungsaufgabe haben wir uns entschieden, eine Schilderkennung zu implementieren. Unser Ziel beschränkt sich darauf, drei verschiedene Schilder zu erkennen, auf die das Auto dann reagiert. Diese Schilder sind in Abbildung 5.1 abgebildet. Im Folgenden werden die zwei Ansätze erklärt, die wir für die Realisierung verfolgt haben.



Abbildung 5.1: Verwendete Schilder. Links: Auf Höhe des Schildes 2 s anhalten. Mitte: Auf die andere Spur wechseln. Rechts: Geschwindigkeit verringern auf 1 km/h für 10 s

5.1 Erster Ansatz: Find-Object

Unser erster Ansatz für die Schilderkennung war es, das ROS-Paket Find-Object von IntRoLab [Lab] zu benutzen. Dieses ermöglicht es, mit einer grafischen Benutzeroberfläche (siehe Abbildung 5.2), Referenzbilder zu laden, welche im Live-Bild der Kamera gesucht werden. Verschiedenen Suchalgorithmen (SIFT, SURF, FAST, BRIEF etc.) und Parameter konnten für schnelles Prototyping ausprobiert werden.

Probleme mit diesem Ansatz: Als wir die Schilderkennung und den Regler für die Steuerung gleichzeitig laufen ließen, begann das Auto stark zu schwingen und es war diesem nicht mehr möglich die Spur korrekt zu halten. Die Performanz-Probleme konnten wir auf die CPU zurückführen, welche alleine durch die Verwendung der Kinect-Kamera zu ca. 50 % ausgelastet war. Außerdem ist das Paket Find-Object mit seinen umfangreichen Funktionen (von denen wir nicht alle benötigten), sehr rechenintensiv. So musste ein anderer Ansatz mit einem simplen, überschaubaren Codeumfang angewendet werden.

5.2 Finaler Ansatz: Schilderkennung mit SURF

Mit dem ersten Ansatz hatten wir experimentell ermittelt, dass der Suchalgorithmus SURF (Speeded Up Robust Features) [BTVG06] für unser Anwendungsszenario am schnellsten und robustesten funktioniert. Schilder werden unabhängig von Größe und Orientation erkannt.

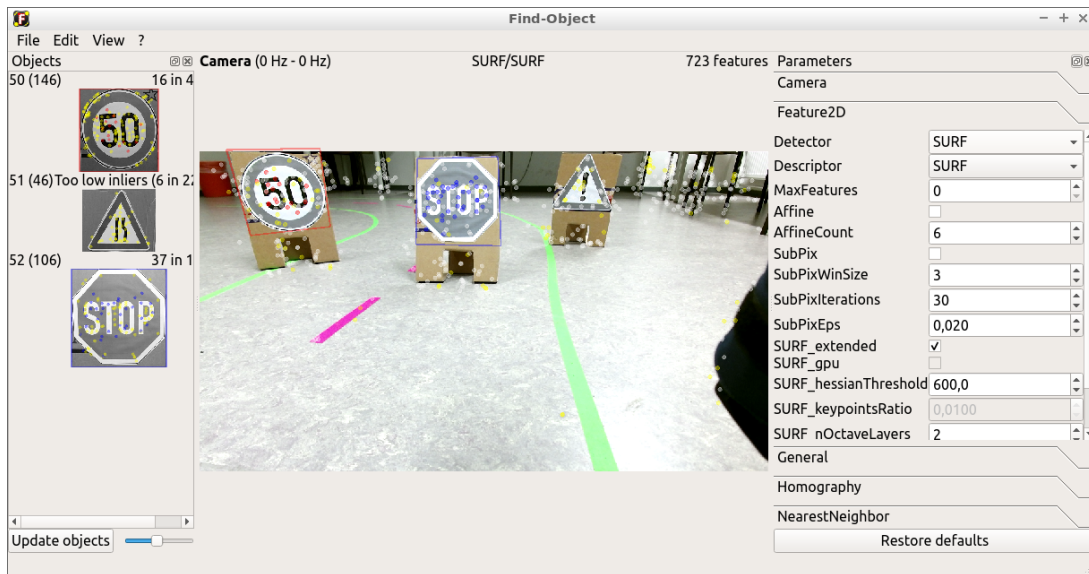


Abbildung 5.2: Grafische Benutzeroberfläche von Find-Object. Links: Referenzbilder. Mitte: Kamerabild. Rechts: Parameter.

Als Code-Basis haben wir bestehenden OpenCV-Beispielcode verwendet. Diesen haben wir für unsere Zwecke angepasst, damit dieser mit ROS und der Kinect-Kamera kompatibel ist, und haben Funktionen wie Multi-Objekt-Erkennung hinzugefügt.

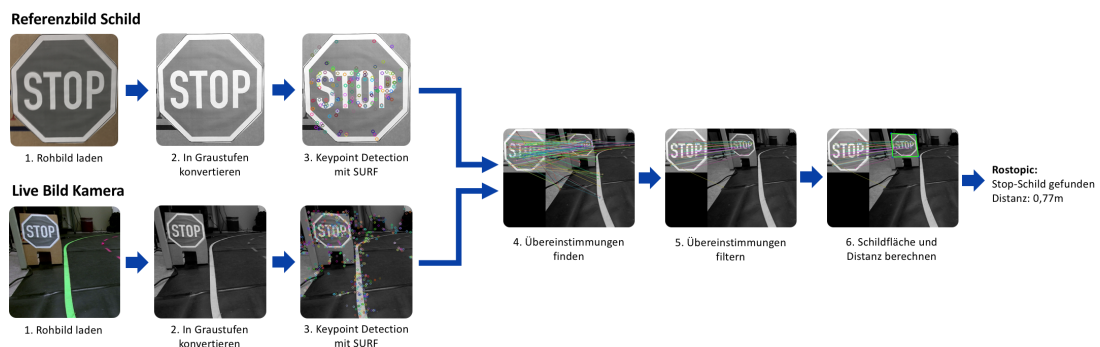


Abbildung 5.3: Schilderkennungs-Pipeline

Um die Funktionsweise unseres Ansatzes zu erklären, gehen wir die Schilderkennung-Pipeline Schritt für Schritt durch:

Schritt 1: : Schild-Referenzbilder und das aktuellste Bild der Kamera werden geladen.

Schritt 2: : Beide Bilder werden in Graustufen konvertiert, da Farbinformationen sind für diese Art der Objekterkennung irrelevant sind.

Schritt 3: : Mit dem Detektor SURF wird in beiden Bildern separat nach markanten Punkten (auch Keypoint oder Point-of-Interest genannt) gesucht. Jeder Keypoint wird als ein Vektor von Eigenschaften (Koordinaten, Durchmesser, Winkel, Octave etc.) beschrieben.

Schritt 4: : Nun wird nach Übereinstimmungen zwischen den Keypoints des Referenzbildes und des Kamerabildes gesucht. In diesem Schritt werden für jeden Keypoint des Referenzbildes zwei Keypoints aus dem Kamera-Bild gesucht, welche die größte Gemeinsamkeit haben. Dafür wird der Nearest-Neighbor Algorithmus von FLANN (Fast Library for Approximate Nearest Neighbors) [ML14] genutzt.

Schritt 5: : Anschließend werden die Übereinstimmungen gefiltert, so dass wir nur noch die besten Übereinstimmungen haben. Dazu verwenden wir den Lowe's-Ratio-Test [Low04], dieser schaut sich die Distanz zwischen dem Keypoint des Referenzbild und dem des Kamerabild an und filtert Übereinstimmungen aus, welche den vorgegebenen Threshold nicht erfüllen. Mit Distanz ist hier keine physikalische Distanz gemeint, sondern die Euklidische Distanz von zwei Keypoint-Vektoren. Dieser gibt den Wert der Ähnlichkeit an.

Schritt 6: : Wenn ein Schild gefunden wird, wird die physikalische Distanz vom Schild zum Auto ermittelt und diese wird auf einem ROS-Topic ausgegeben:

Wenn das Stoppschild erkannt wird: /sign_detection_node/StopSign

Wenn das Geschwindigkeitsschild erkannt wird: /sign_detection_node/LaneSign

Wenn das Spurwechselschild erkannt wird: /sign_detection_node/SpeedSign

Distanz vom Auto zum Schild ermitteln: Um die Distanz vom Auto zum Schild zu ermitteln, war unsere erste Idee, das Tiefenbild der Kinect zu nutzen. Dieses verbraucht aber zu viel Rechenleistung, sodass die Regelung nicht mehr richtig funktioniert.

Daher verwenden wir die Fläche des gefundenen Bildes, um diese in eine Distanz umzurechnen. Dafür haben wir für verschiedene Distanzen gemessen, wie groß die Fläche ist und haben mittels Regressionsanalyse nach einer Funktion gesucht, welche die Messpunkte möglichst gut beschreibt. Wie in Abbildung 5.4 zu sehen, werden die Messpunkte am besten von einer Potenzfunktion beschrieben:

$$d = 385 * A^{-0.6385}$$

5.3 Ausblick: Verbesserungsmöglichkeiten

Man kann überlegen, einen anderen Deskriptor als SURF zu verwenden. Dieser ist zwar für Forschungszwecke lizenzfrei aber nicht für kommerzielle Zwecke. Womöglich ist der lizenzfreie (BSD-Lizenz) Deskriptor ORB [RRKB11] eine bessere Lösung.

Bei der aktuellen Implementierung wird jedes Mal wenn ein neues Kamera-Bild reinkommt, beim Referenzbild des Schildes von neuem die Keypoints gesucht. Da diese sich aber nicht verändern, könnte man diesen Schritt auslagern, sodass er nur ein Mal ausgeführt wird.

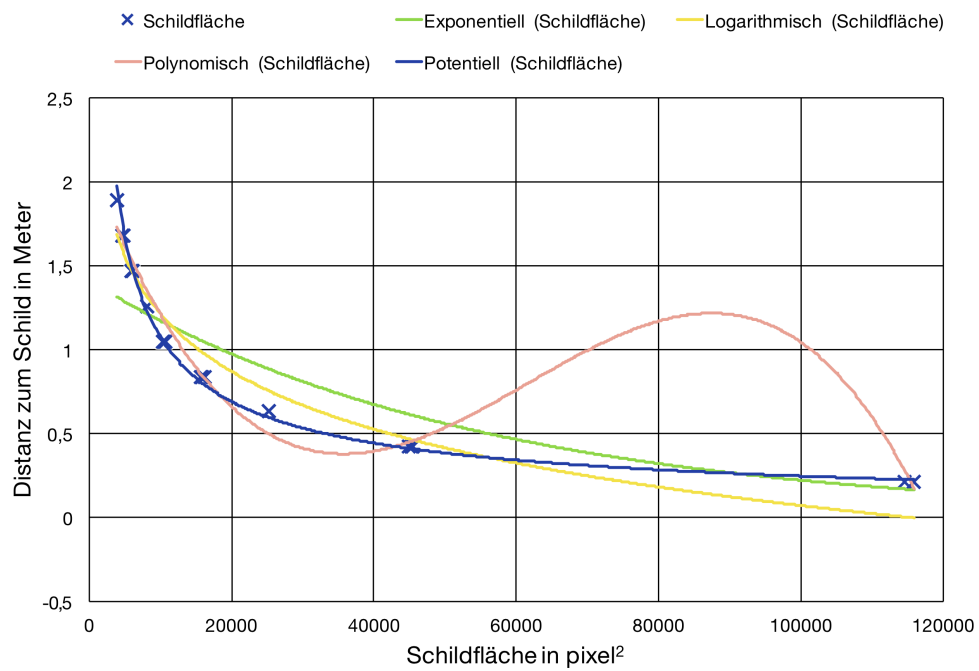


Abbildung 5.4: Messpunkte für Verhältnis Fläche zu Distanz und verschiedene Regressionsfunktionen

Außerdem könnte man die Schilderkennung erweitern, sodass mehr als nur drei Schilder erkannt werden.

6 Konklusion

Das Projektseminar stellte sich als eine sehr vielfältige und facettenreiche Veranstaltung heraus, bei der das eigentliche Ziel, eine Fahrzeugsteuerung zu programmieren, nur einen Teil der Erkenntnisse darstellt.

Durch den längeren Zeitraum von einem Semester konnten wir uns intensiv mit Ansätzen des Autonomen Fahrens beschäftigen und konnten so mit Integrationstests und Projektplanung auf eine spannende und praxisnahe Art und Weise vieles lernen. Insbesondere die Einarbeitung und Verwendung verschiedener Tools in der Software-Entwicklungskette war besonders sinnvoll.

Auch war es sehr interessant, den Umgang mit der Roboter-Middleware ROS zu erlernen. Dass dieses System auch in der Industrie eingesetzt wird, zeigt die Wichtigkeit der Fähigkeit, sich in neue Software-Lösungen einzuarbeiten.

Wir konnten auf eine sehr umfangreiche und freundliche Projektbetreuung zurückgreifen, sodass wir für die verschiedenen Probleme immer einen Ansprechpartner hatten. Sehr hervorzuheben ist auch die freie Gestaltung der Aufgaben. Der genaue Zeitplan war uns überlassen, die Zusatzaufgabe durften wir uns selbst überlegen.

Dennoch kamen wir auch mit unseren vergleichsweise primitiven Berechnungen an die Leistungsgrenzen der Recheneinheit. Hier wäre es nützlich, die Rechenleistung zu erhöhen, damit Bilder besser verarbeitet werden könnten. Auch sind bessere Lenk- und Fahrmotoren wichtig, um Performanzsteigerungen zu erreichen.

Insbesondere hinsichtlich des zukünftigen Ziels des Carolo-Cups bietet es sich an, die implementierten Module zu verbessern. Die Regelung lässt noch viele weitere Verbesserungen zu, während die Schilderkennung weiter optimiert und erweitert werden kann.

Literatur

- [AZ12] ALLGÖWER, Frank ; ZHENG, Alex: *Nonlinear model predictive control*. Bd. 26. Birkhäuser, 2012
- [BTVG06] BAY, Herbert ; TUYTELAARS, Tinne ; VAN GOOL, Luc: Surf: Speeded up robust features. In: *European conference on computer vision* Springer, 2006, S. 404–417
- [Gas] GASPERO, Luca D.: *quadprog++*. <https://github.com/liuq/QuadProgpp/blob/master/src/QuadProg%2B%2B.hh>
- [GI83] GOLDFARB, Donald ; IDNANI, Ashok: A numerically stable dual method for solving strictly convex quadratic programs. In: *Mathematical programming* 27 (1983), Nr. 1, S. 1–33
- [Hee] HEESCH, Dimitri van: *doxygen*. <http://www.doxygen.nl/>
- [Hov04] HOVD, Morten: A brief introduction to Model Predictive Control. In: *URL = http://www.itk.ntnu.no/fag/TTK4135/viktig/MPCkompendium%20HOvd.pdf* (2004)
- [Lab] LABBE, Mathieu: *findObject*. <https://github.com/introlab/find-object/blob/master/src/FindObject.cpp>
- [Low04] LOWE, David G.: Distinctive image features from scale-invariant keypoints. In: *International journal of computer vision* 60 (2004), Nr. 2, S. 91–110
- [ML14] MUJA, Marius ; LOWE, David G.: Scalable Nearest Neighbor Algorithms for High Dimensional Data. In: *Pattern Analysis and Machine Intelligence, IEEE Transactions on* 36 (2014)
- [Rab] RABAUD, Vincent: *OpenCV*. http://wiki.ros.org/vision_opencv
- [RRKB11] RUBLEE, Ethan ; RABAUD, Vincent ; KONOLIGE, Kurt ; BRADSKI, Gary: ORB: An efficient alternative to SIFT or SURF. (2011)